

EFC 2 - RA 248029

Questão 1a)

$$a_k = \frac{1}{T} \int_{-T/2}^{T/2} x(t) e^{-jk\omega_0 t} dt = \frac{1}{4} \left[\int_{-T/4}^0 -t e^{-jk\omega_0 t} dt + \int_0^{T/4} t e^{-jk\omega_0 t} dt \right]$$

$$= \frac{1}{4} \left[\int_{-1}^0 -t e^{-jk\omega_0 t} dt + \int_0^1 t e^{-jk\omega_0 t} dt \right]$$

$$= \frac{1}{4} \left(\frac{e^{jk\omega_0} (jk\omega_0 - 1) + 1}{-k^2 \omega_0^2} + \frac{e^{-jk\omega_0} (-jk\omega_0 + 1) - 1}{-k^2 \omega_0^2} \right)$$

$$= \frac{1}{4} \left(\frac{\cos(k\omega_0) + j \sin(k\omega_0) (jk\omega_0 - 1) + 1}{-k^2 \omega_0^2} + \frac{\cos(k\omega_0) - j \sin(k\omega_0) (-jk\omega_0 + 1) - 1}{-k^2 \omega_0^2} \right)$$

$$a_k = \frac{-1}{4k^2 \omega_0^2} \left(\cos(k\omega_0) j k \omega_0 - \cos(k\omega_0) + j^2 \sin(k\omega_0) \cdot k \omega_0 - j \sin(k\omega_0) \right.$$

$$\left. + 1 - \cos(k\omega_0) j k \omega_0 + \cos^2(k\omega_0) + \cos(k\omega_0) j \sin(k\omega_0) - \cos(k\omega_0) \right.$$

$$\left. + j^2 \sin(k\omega_0) k \omega_0 - j \cos(k\omega_0) \cdot \sin(k\omega_0) - j^2 \sin^2(k\omega_0) + j \sin(k\omega_0) \right)$$

$$a_k = \frac{-1}{4k^2 \omega_0^2} \left(-2 \cos(k\omega_0) - 2 \sin(k\omega_0) \cdot k \omega_0 + \underbrace{\cos^2(k\omega_0) + \sin^2(k\omega_0)}_1 + 1 \right)$$

$$a_k = \frac{-2}{4k^2 \omega_0^2} \left(-\cos(k\omega_0) - \sin(k\omega_0) \cdot k \omega_0 + 1 \right)$$

$$a_k = \frac{1}{2k^2 \omega_0^2} \left(\cos(k\omega_0) + \sin(k\omega_0) \cdot k \omega_0 - 1 \right)$$

$$\text{Calculando } a_0 = \frac{1}{T} \int_{-T/2}^{T/2} x(t) dt = \frac{1}{T} \left[\int_{-T/4}^0 t dt + \int_0^{T/4} t dt \right]$$

$$a_0 = \frac{1}{4} \left[\int_{-1}^0 -\frac{t^2}{2} + \int_0^1 \frac{t^2}{2} \right] = \frac{1}{4} \left[\frac{1}{2} + \frac{1}{2} \right] = \frac{1}{4}$$

b) Neste item, utilizando o valor a_k obtido anteriormente iremos construir gráficos para a aproximação de $x(t)$ pela Série de Fourier para 4 valores de harmônicas diferentes, conforme as figuras abaixo para às 1,10,20 e 50 harmônicas respectivamente.

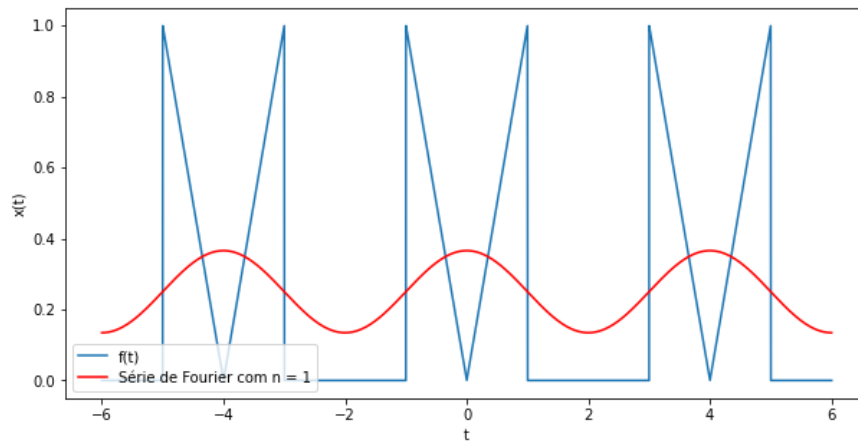


Figura 1 : Gráfico da Série de Fourier e da onda $x(t)$, ambas em função de t

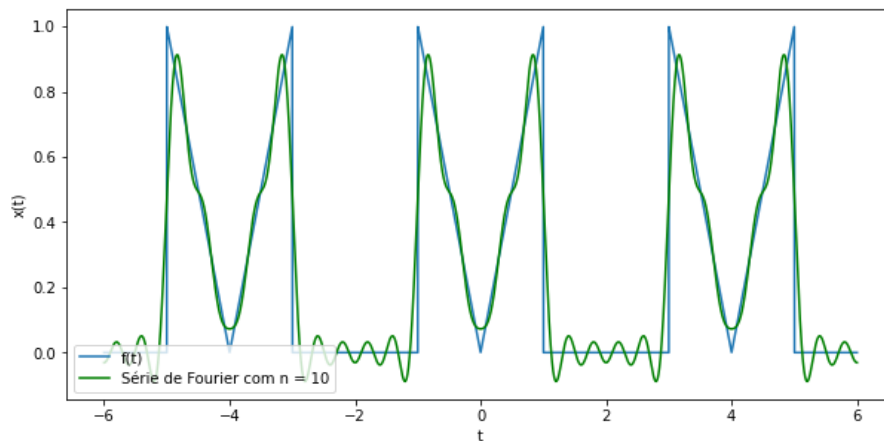


Figura 2 : Gráfico da Série de Fourier e da onda $x(t)$, ambas em função de t

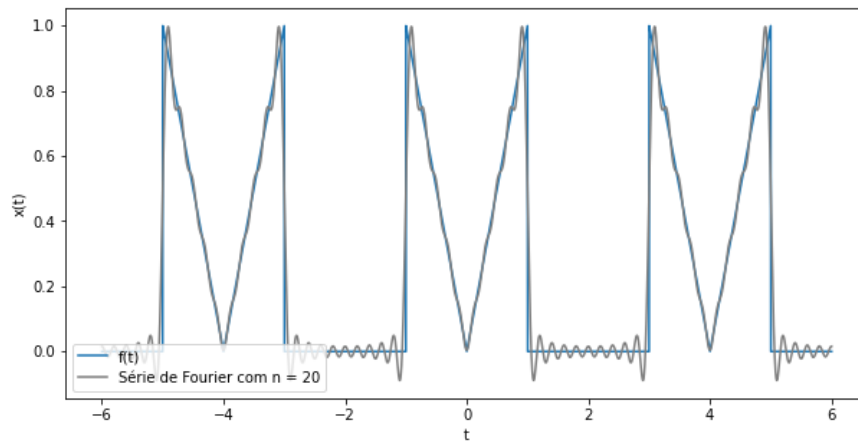


Figura 3 : Gráfico da Série de Fourier e da onda $x(t)$, ambas em função de t

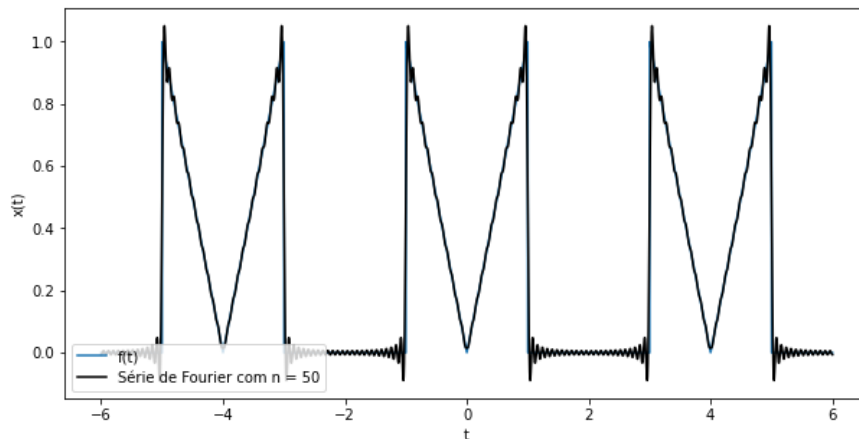


Figura 4 : Gráfico da Série de Fourier e da onda $x(t)$, ambas em função de t

c) Neste item iremos calcular a potência de erro para cada número de harmônicas representadas graficamente no item anterior.

Para $n = 1$:

Potência do erro= $(0.07732774455939156-5.3571099823072285e-17j)$

Para $n = 10$:

Potência do erro= $(0.010242085691601305+7.712568345313946e-20j)$

Para $n = 20$:

Potência do erro= $(0.005047359541568666-1.115455432940955e-20j)$

Para $n = 50$:

Potência do erro= $(0.0020256960374152055+2.1459952212133244e-20j)$

Podemos observar então que, assim como observado no item anterior, quanto maior o número de harmônicas menor o erro, e consequentemente, mais a série se aproxima da onda original.

d) Neste item iremos plotar o módulo dos coeficientes da série $|a_k|$ em função de ω . Obtemos então o seguinte gráfico:

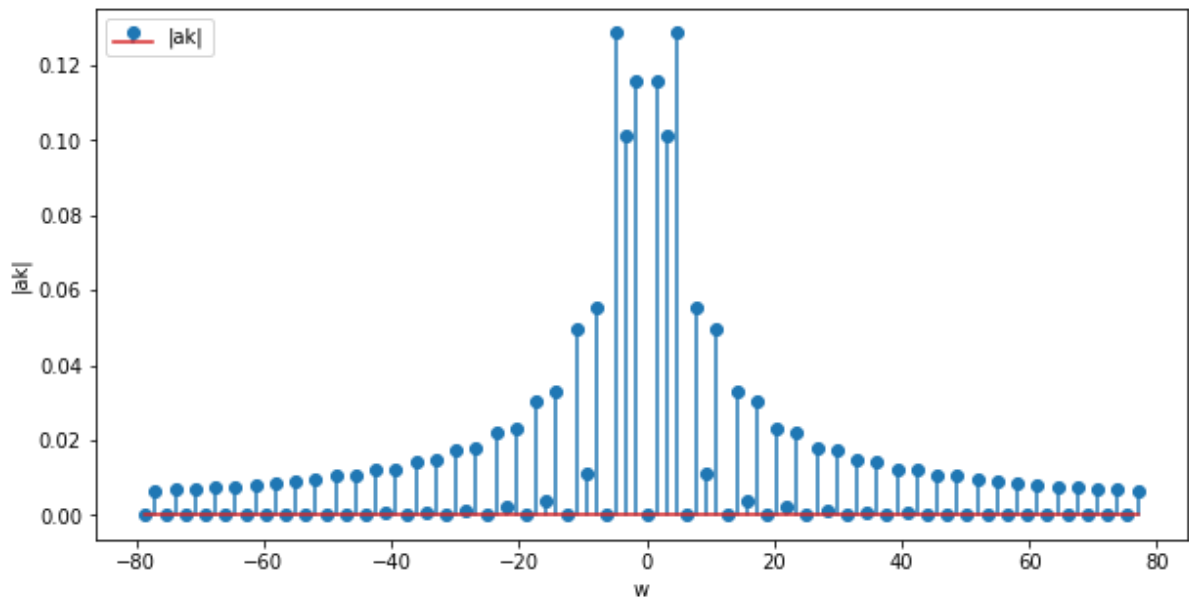


Figura 5: Gráfico dos coeficientes $|a_k|$ em função de ω

Podemos observar que para valores mais próximos de 0 a_k possui valores maiores, além de ser notável a simetria em torno do eixo y, o que é característico de uma função par. Nessa situação a simetria se deve a presença da função par cosseno no cálculo de a_k .

e) Neste item iremos plotar o módulo e a fase de resposta em frequência, obtemos então as figuras 6 e 7 abaixo:

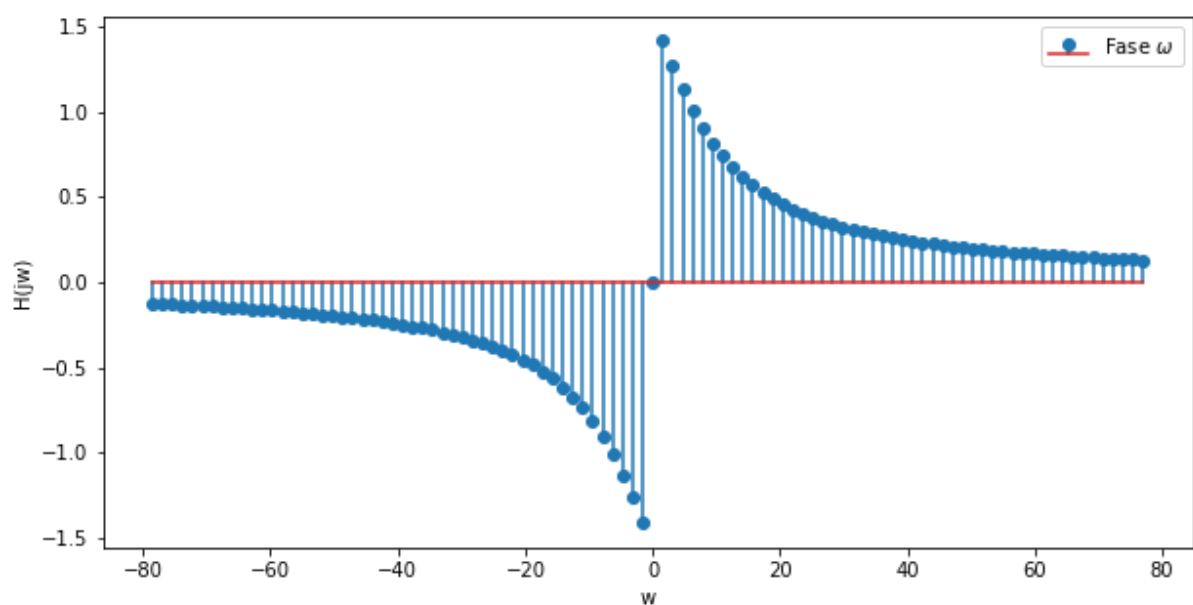


Figura 6: Gráfico da Fase de resposta em frequência em função de ω

Podemos observar que os maiores valores de fase são obtidos para os menores valores de frequência.

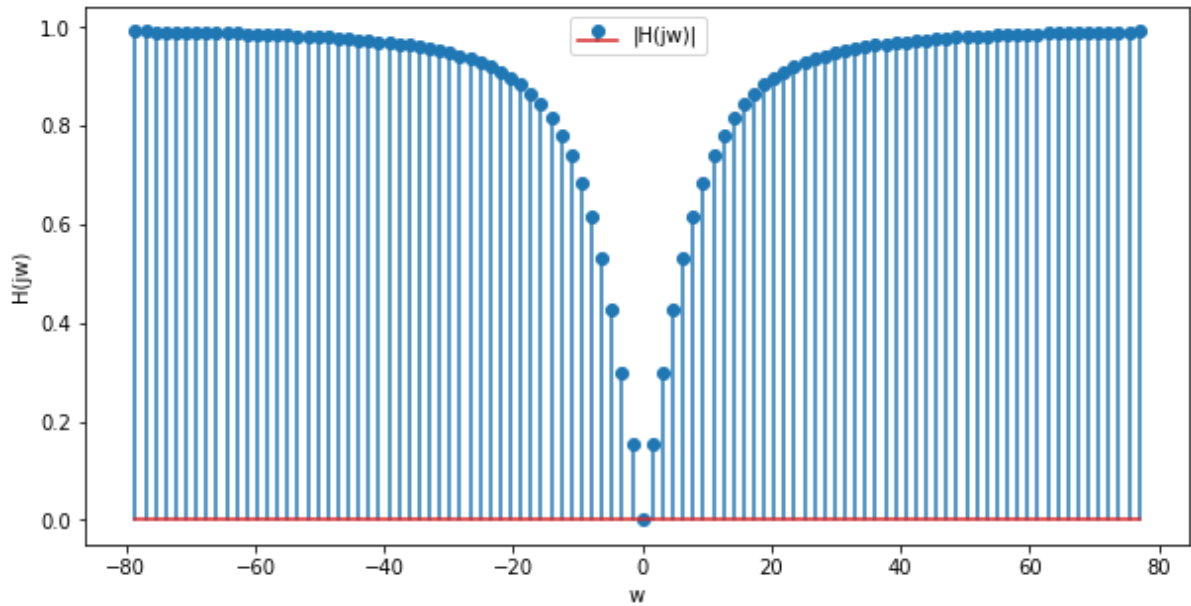


Figura 7: Gráfico do módulo da resposta em frequência em função de ω

Pela figura 7 observamos que para altas frequências o módulo da resposta em frequência se aproxima de 1, e para baixas frequências se aproxima de 0. Esse comportamento caracteriza um filtro passa-alta.

f) Neste item queremos obter a saída $y(t)$ do sistema quando a entrada é $x(t)$ aproximada com 50 harmônicas.

A saída $y(t)$ é dada por:

$$y(t) = \sum_{k=-\infty}^{\infty} H(j\omega_k) \cdot c_k \cdot e^{jk\omega_0 t}$$

Obtemos então o gráfico dado pela figura 8:

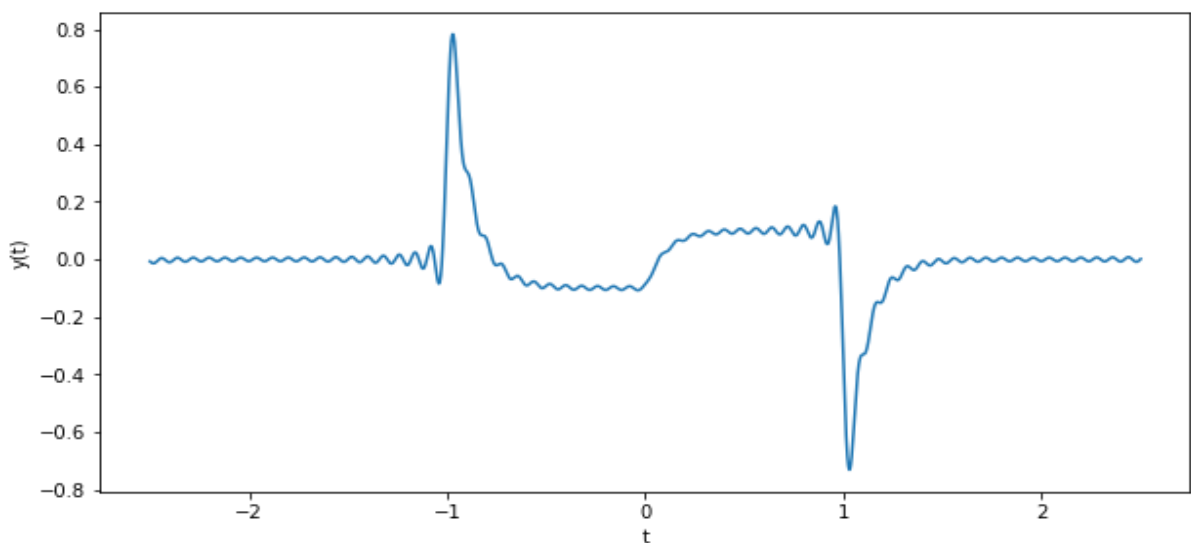


Figura 8: Gráfico da saída $y(t)$ em função de t

Na forma de onda obtida acima podemos observar a presença do fenômeno de Gibbs devido a presença de pequenas oscilações ao longo da onda. Nos pontos -1 e 1 temos um valor maior de saída, isso se deve as descontinuidades existentes nesses dois pontos.

g) Neste item queremos as diferenças entre o gráfico da figura 3 (roteiro) e a resposta do sistema no item f (figura 8) .

Podemos observar que ambos os gráficos são bem similares, a principal diferença se deve a pequenas oscilações causadas pelo fenômeno de Gibbs, devido ao fato da aproximação usar um número finito de harmônicos e devido às descontinuidades presentes na entrada $x(t)$.